

บทที่ 2

ทฤษฎีและการออกแบบ Reheat Coil

2.1 ทฤษฎี

2.1.1 เอนทัลปี (h) อากาศชื้น

เอนทัลปีของอากาศและน้ำสามารถหาได้จากตารางเทอร์โมไดนามิกส์ของอากาศ และ ตารางไอน้ำ แต่ในกรณีที่ไม่ต้องการใช้ตาราง โดยใช้จากสูตรที่มาก็สามารถหาได้ซึ่งสูตรที่มาได้ จากหลักการ ดังนี้

เอนทัลปีของน้ำ (h_f)

เอนทัลปีของน้ำ (h_f) ที่ 0°C มีค่าเป็นศูนย์ ($h_f = 0 \text{ kJ/kg}$) และค่าความร้อนจำเพาะ (C) ของน้ำประมาณ $4.186 \text{ kJ/kg } ^\circ\text{C}$ ดังนั้น สูตรสำหรับหาค่าเอนทัลปีของน้ำ (h_f) คือ

$$h_f = 4.186 t \quad [\text{kJ/kg}] \quad (2.1)$$

โดย $t =$ อุณหภูมิ ($^\circ\text{C}$)

เอนทัลปีของไอน้ำ (h_v)

เอนทัลปีของไอน้ำ (h_v) ที่ 0°C จะมีค่าประมาณ 2501 kJ/kg และไอน้ำมีค่า ความร้อนจำเพาะประมาณ $1.86 \text{ kJ/kg } ^\circ\text{C}$ ดังนั้นสูตรสำหรับหาค่าเอนทัลปีของไอน้ำ (h_v) คือ

$$h_v = 2501 + 1.86 t \quad [\text{kJ/kg}] \quad (2.2)$$

โดย $t =$ อุณหภูมิ ($^\circ\text{C}$)

เอนทัลปีของอากาศ (h_a)

เอนทัลปีของอากาศ (h_a) ที่ 0°C จะมีค่าเป็นศูนย์ ($h_a = 0 \text{ kJ/kg}$) และค่า ความร้อนจำเพาะของอากาศประมาณ $1 \text{ kJ/kg } ^\circ\text{C}$ ดังนั้น สูตรสำหรับหาค่าเอนทัลปีของ อากาศ (h_a) คือ

$$h_a = t \quad [\text{kJ/kg}] \quad (2.3)$$

โดย $t =$ อุณหภูมิ ($^\circ\text{C}$)

เอนทัลปีของอากาศชื้น (อากาศ + ไอน้ำ) (h)

$$h = h_a + w \cdot h_v \quad [\text{kJ/kg}_{da}]$$

โดย $w =$ อัตราส่วนความชื้น [kg/kg_{da}]

แทนค่าจากความสัมพันธ์ของสมการ (2.2) และ (2.3) จะได้

$$h = t + w(2501 + 1.86 t) \quad [\text{kJ/kg}_{\text{da}}]$$

ถ้าพิจารณาผลต่างของเอนทัลปีของอากาศขึ้นสองสภาวะจะได้

$$h_2 - h_1 = (t_2 - t_1) + 2501 (w_2 - w_1) + 1.86 (t_2 w_2 - t_1 w_1) \quad [\text{kJ/kg}_{\text{da}}]$$

หรือ
$$h_2 - h_1 = \underbrace{(1 + 1.86 w_m)(t_2 - t_1)}_{\text{Sensible Heat}} + \underbrace{(2501 + 1.86 t_m)(w_2 - w_1)}_{\text{Latent Heat}} \quad [\text{kJ/kg}_{\text{da}}] \quad (2.4)$$

Sensible Heat

Latent Heat

โดย
$$w_m = (w_1 + w_2) / 2$$

$$t_m = (t_1 + t_2) / 2$$

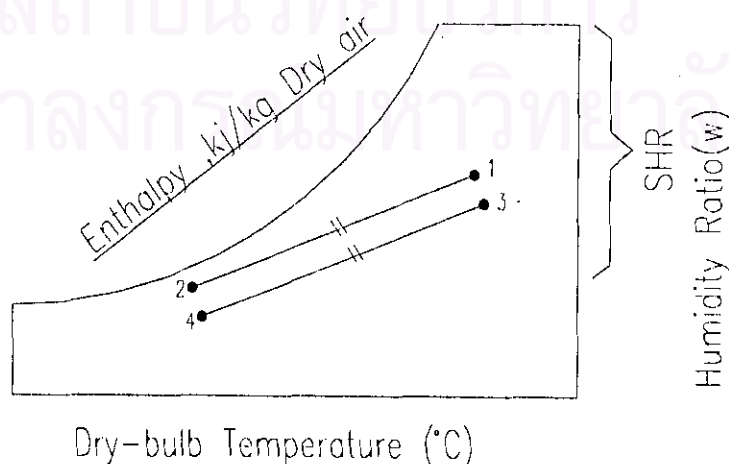
2.1.2 ความสัมพันธ์ระหว่างอัตราส่วนความชื้น (w) เอนทัลปี (h) และอัตราส่วนความร้อนสัมผัส (SHR)

พิจารณาแผนภูมิไซโครเมตริก จะเห็นว่าสเกลการเปลี่ยนแปลงของอัตราส่วนความชื้น (w) และเอนทัลปี (h) ค่อนข้างสม่ำเสมอ ซึ่งพอจะประมาณได้ว่าเป็นสัดส่วนโดยตรงกัน ซึ่งหมายความว่าในกระบวนการใด ๆ ถ้าอัตราส่วนระหว่างการเปลี่ยนเอนทัลปี (h) และอัตราส่วนความชื้น (w) เท่ากัน เส้นขอบวนการควรจะต้องขนานกันบนแผนภูมิไซโครเมตริก นั่นคือ

$$(\Delta h / \Delta w)_{1-2} = (\Delta h / \Delta w)_{3-4}$$

หรือ
$$(h_2 - h_1) / (w_2 - w_1) = (h_4 - h_3) / (w_4 - w_3)$$

สามารถเขียนขอบวนการบนแผนภูมิไซโครเมตริก ได้ดังนี้



รูปที่ 2-1 แสดงขอบวนการของระบบที่มี $\Delta h / \Delta w$ เท่ากัน

อัตราส่วนความร้อนสัมผัส (SHR) คืออัตราส่วนระหว่างการเปลี่ยนแปลงความร้อนสัมผัส ($Q_s, SH = \text{Sensible Heat}$) ต่อการเปลี่ยนแปลงความร้อนทั้งหมด ($Q_T, TH = \text{Total Heat}$) โดยที่การเปลี่ยนแปลงความร้อนทั้งหมด (Q_T) คือผลรวมของการเปลี่ยนแปลงความร้อนสัมผัส (Q_s) กับการเปลี่ยนแปลงความร้อนแฝง ($Q_L, LH = \text{Latent Heat}$) หรือ

$$SHR = Q_s / Q_T = Q_s / (Q_s + Q_L) \quad (2.5)$$

จากสมการ (2.4)

$$h_2 - h_1 = \underbrace{(1 + 1.86 w_m)(t_2 - t_1)}_{\text{Sensible Heat}} + \underbrace{(2501 + 1.86 t_m)(w_2 - w_1)}_{\text{Latent Heat}} \quad [\text{kJ/kg}_{da}]$$

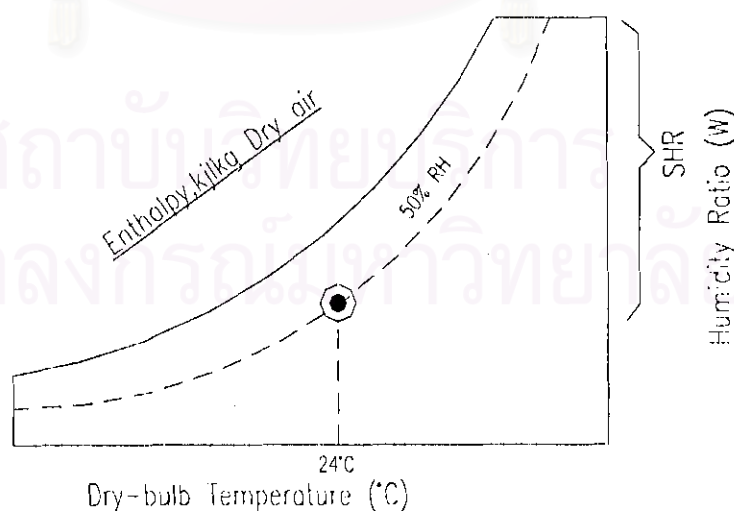
แทนในสมการ (2.5) จะได้

$$SHR = (1 + 1.86 w_m)(t_2 - t_1) / \{ (1 + 1.86 w_m)(t_2 - t_1) + (2501 + 1.86 t_m)(w_2 - w_1) \}$$

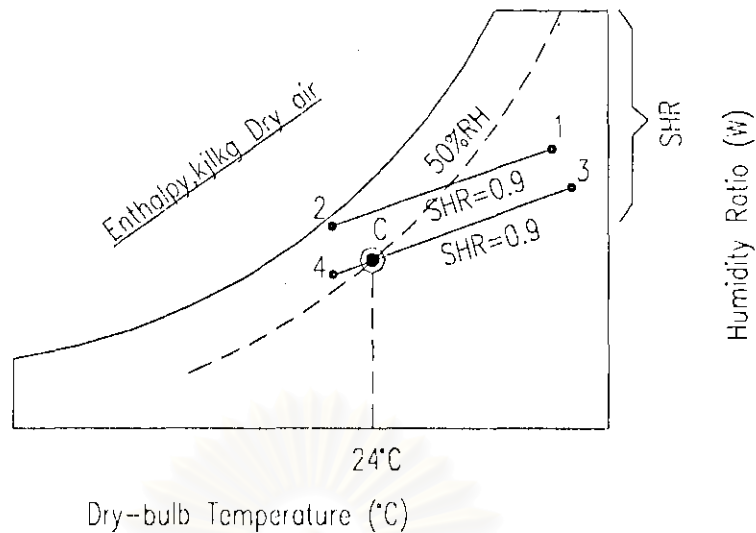
$$SHR = 1 - (2501 + 1.86 t_m)(w_2 - w_1) / \{ (1 + 1.86 w_m)(t_2 - t_1) + (2501 + 1.86 t_m)(w_2 - w_1) \}$$

$$SHR = 1 - (2501 + 1.86 t_m) \Delta w / \Delta h \quad (2.6)$$

ฉะนั้น SHR ก็เช่นเดียวกับ $\Delta w / \Delta h$ คือ ขบวนการใดก็ตามที่มี SHR เท่ากันเส้นแสดงขบวนการที่ลาก บนแผนภูมิไซโครเมตริกต้องขนานกัน ทำให้สามารถสร้างสเกล SHR ได้ ดังที่ปรากฏในแผนภูมิไซโครเมตริกด้านขวามือ โดยมีจุดอ้างอิงที่ 24°C , 50%RH



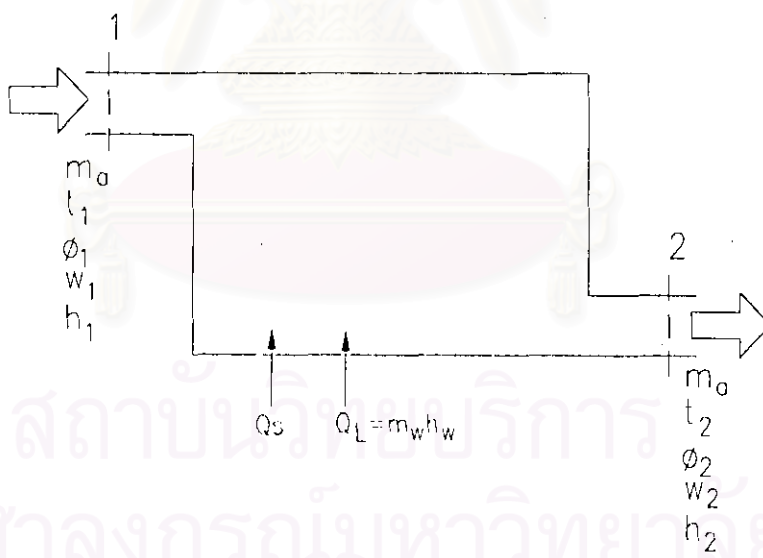
รูปที่ 2-2 แสดงแผนภูมิไซโครเมตริกเพื่อแสดงตำแหน่งบอกขนาด SHR



รูปที่ 2-3 แสดงขอบเขตการของระบบที่มี SHR เท่ากันบนแผนภูมิไซโครเมตริก

2.1.3 ขบวนการในห้องปรับอากาศ

พิจารณาขบวนการในห้องปรับอากาศ ดังรูป



รูปที่ 2-4 แสดงขบวนการในห้องปรับอากาศ

โดย Q_s เป็นความร้อนสัมผัสทั้งหมดที่เข้าสู่ห้องปรับอากาศ

Q_L เป็นความร้อนแฝงทั้งหมดที่เข้าสู่ห้องปรับอากาศ ($Q_L = m_w h_w$)

Q_T เป็นความร้อนรวมทั้งหมดที่เข้าสู่ห้องปรับอากาศ ($Q_T = Q_s + Q_L$)

สภาวะที่ 1 คือ สภาวะของอากาศที่ออกมาจากเครื่องปรับอากาศเข้าสู่ห้องที่จะปรับอากาศ

สภาวะที่ 2 คือ สภาวะของห้องปรับอากาศ

จากกฎข้อที่ 1 ของเทอร์โมไดนามิกส์ จะได้

$$Q_s = m_a h_2 - m_a h_1 - m_w h_w + W, \quad (W = 0)$$

$$Q_s + m_w h_w = m_a (h_2 - h_1) \quad (2.7)$$

และจากกฎทรงมวล

$$m_a + m_a w_1 + m_w = m_a + m_a w_2$$

$$m_w = m_a (w_2 - w_1) \quad (2.8)$$

นำสมการ (2.7) หารด้วยสมการ (2.8) จะได้

$$(h_2 - h_1) / (w_2 - w_1) = (Q_s + m_w h_w) / m_w$$

$$\Delta h / \Delta w = (Q_s + Q_L) / m_w \quad (2.9)$$

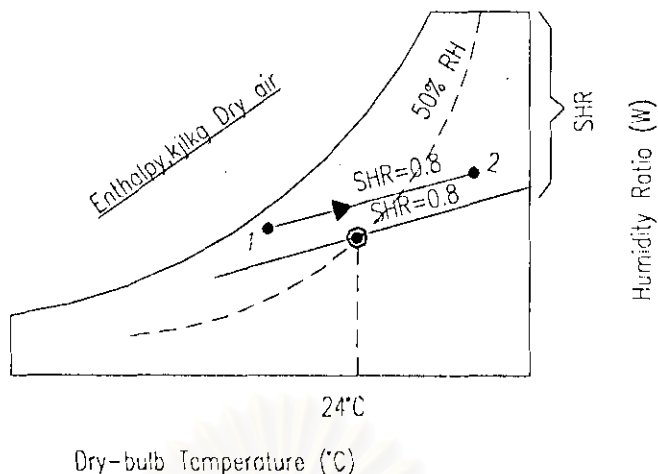
โดย $m_w =$ มวลของน้ำ (kg)

$h_w =$ เอนทัลปีของน้ำ [kJ/kg]

จากความสัมพันธ์ที่ได้ในสมการ (2.9) สรุปได้ว่าขบวนการในห้องปรับอากาศถ้านำมาเขียนบนแผนภูมิไซโครเมตริกจะต้องขนานกับเส้นที่มี $\Delta h / \Delta w = (Q_s + Q_L) / m_w$ และจากความสัมพันธ์ของสมการ (2.6) ซึ่งได้กล่าวมาแล้ว ก็คือเส้นที่ขนานกับเส้นอัตราส่วนความร้อนสัมผัส (SHR) นั้นเอง ซึ่ง

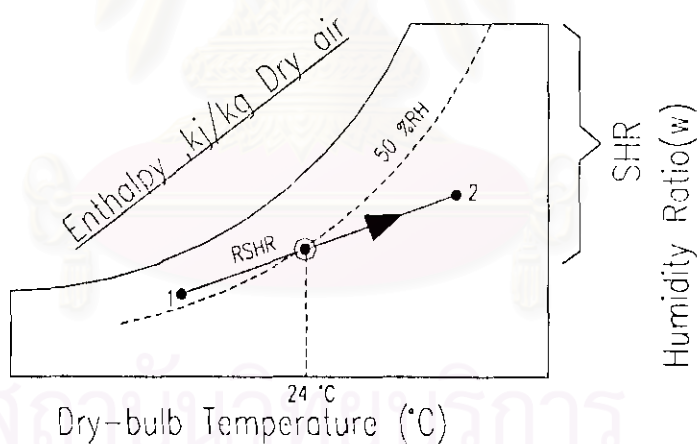
$$SHR = \frac{Q_s}{(Q_s + Q_L)}$$

หรืออีกนัยหนึ่งสรุปได้ว่า ในห้องปรับอากาศ ถ้าต้องการให้ได้สภาวะห้องตามที่ออกแบบ เช่นสภาวะที่ 2 ตามรูปที่ 2-5 ลมเย็นที่ต้องจ่ายสู่ห้องจะต้องมีสภาวะอยู่บนเส้นที่ขนานกับ SHR หรือ $\Delta h / \Delta w$ เสมอ เช่นสภาวะที่ 1 ซึ่งจะอยู่ที่ใดก็ได้บนเส้นดังกล่าว



รูปที่ 2-5 แสดงขอบเขตการของระบบปรับอากาศที่มีการจ่ายลมเย็นที่สภาวะที่ 1 โดยห้องมี $SHR = 0.8$ และได้สภาวะห้องที่สภาวะที่ 2

2.1.4 ขอบเขตการของระบบปรับอากาศที่ไม่มีการนำอากาศภายนอกเข้าเครื่อง
ขอบเขตการสามารถแสดงได้บนแผนภูมิไซโครเมตริก ได้ดังนี้

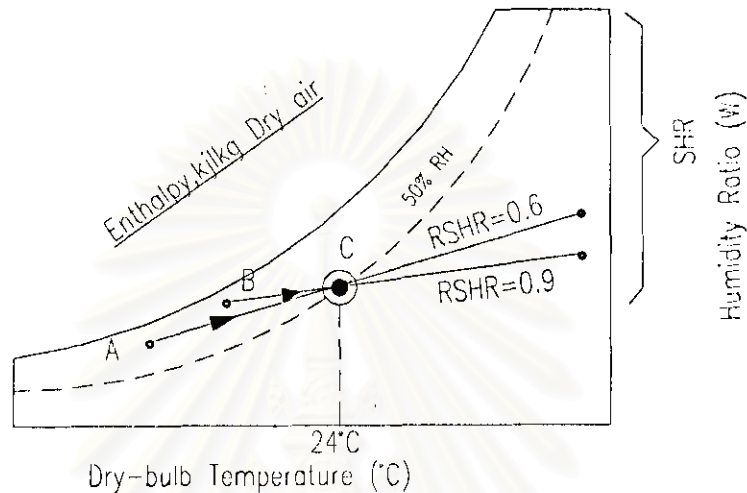


รูปที่ 2-6 แสดงขอบเขตการของระบบปรับอากาศที่ไม่มีการนำอากาศภายนอกเข้าเครื่อง

กล่าวคือ จุดที่ 1 เป็นสภาวะที่ลมเย็นออกมาจากเครื่องปล่อยเข้าห้องปรับอากาศจะเปลี่ยนสภาวะเป็นจุดที่ 2 ตามที่แสดงมาแล้วในหัวข้อก่อนหน้านี้โดยจะต้องมี SHR เท่ากับ $Q_s / (Q_s + Q_L)$ ซึ่งจะเรียกว่า $RSHR$ (Room Sensible Heat Ratio)

2.1.5 ระบบปรับอากาศเมื่อห้องมีความร้อนแฝงเข้ามากหรือมี RSHR ต่ำ

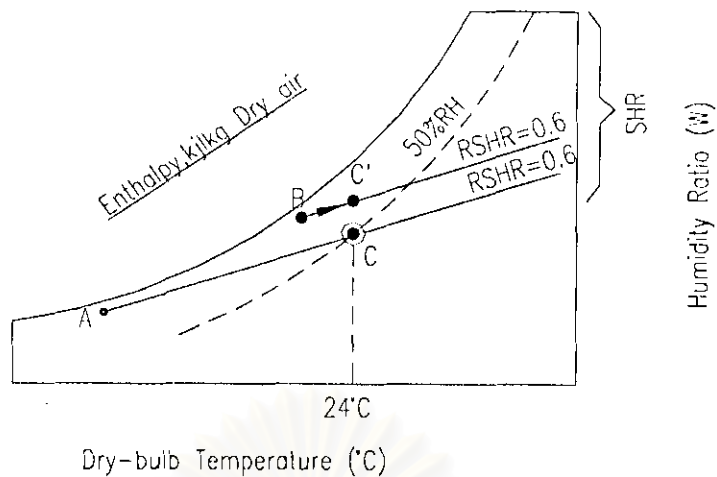
ห้องปรับอากาศที่มี RSHR ต่ำจะพบว่าเส้น RSHR จะตัดกับเส้นอิ่มตัว (Saturation line) ที่อุณหภูมิต่ำมาก หรือแทบจะไม่ตัดเส้นอิ่มตัวเลยถ้าหากห้องปรับอากาศมี RSHR ต่ำมาก ๆ ดังแผนภาพ



รูปที่ 2-7 แสดงขอบเขตการทำงานของระบบปรับอากาศเปรียบเทียบระหว่างห้องปรับอากาศที่มี RSHR ต่ำกับมี RSHR สูงบนแผนภูมิไซโครเมตริก

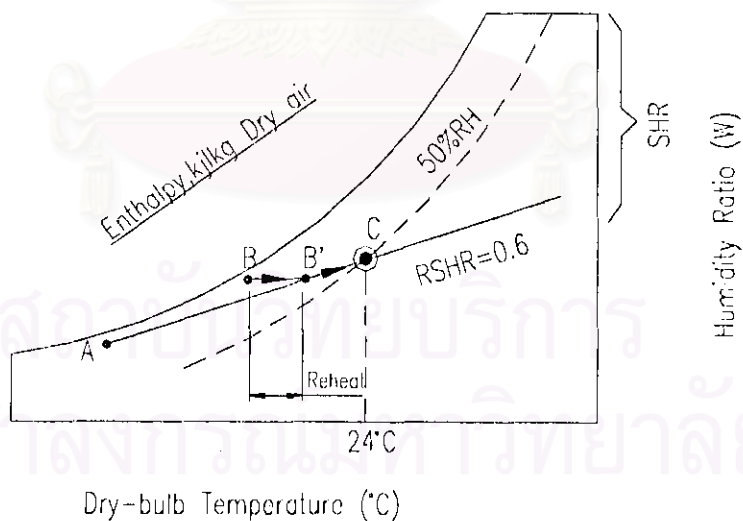
จากรูป พบว่ากรณีห้องปรับอากาศมีค่า RSHR สูง (RSHR = 0.9) เราสามารถเลือกสภาวะที่ลมเย็นออกจากเครื่องปรับอากาศ คือจุด B และจ่ายลมในอัตราที่เหมาะสมก็จะได้จุด C ตามต้องการ โดยที่จุด B มีอุณหภูมิไม่ต่ำมาก ขนาดทำความเย็นจึงไม่มากนัก (ใช้เครื่องปรับอากาศขนาดเล็ก)

แต่กรณีห้องปรับอากาศมีค่า RSHR ต่ำ (RSHR = 0.6) ถ้าหากต้องการให้ได้สภาวะ (C) ตามที่ออกแบบไว้ต้องเลือกสภาวะลมเย็นที่ออกจากเครื่องปรับอากาศที่จุด A ซึ่งเป็นจุดที่มีอุณหภูมิต่ำมาก ต้องใช้เครื่องปรับอากาศที่สามารถทำความเย็นได้มากกว่ากรณีแรกค่อนข้างมาก ซึ่งกรณีนี้ถ้าหากเลือกจ่ายลมเย็นออกจากเครื่องปรับอากาศ เป็นจุด B (จุดเดียวกับกรณีห้องปรับอากาศมี RSHR = 0.9) และจ่ายลมในอัตราที่เหมาะสมก็จะได้จุด C' ซึ่งเป็นสภาวะที่มีอุณหภูมิตามที่ออกแบบไว้ (24 °C) แต่ความชื้นสัมพัทธ์มากกว่า 50 % RH ดังรูป



รูปที่ 2-8 แสดงขบวนการของระบบปรับอากาศกรณีจ่ายลมเย็นไม่อยู่บนเส้น RSHR ที่ตัดจุดที่ต้องการ (จุด C)

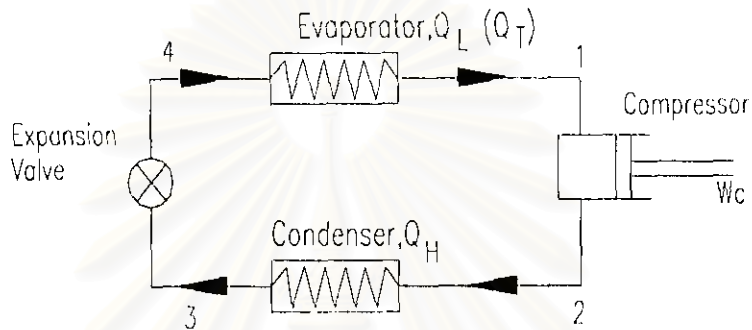
เพื่อหลีกเลี่ยงปัญหาดังกล่าว กรณีที่ห้องปรับอากาศมีค่า RSHR ต่ำ มักจะแก้ปัญหาโดยการ Reheat ดังรูป



รูปที่ 2-9 แสดงขบวนการของระบบปรับอากาศที่มีการ Reheat ระบบ กรณีที่ห้องปรับอากาศมี RSHR ต่ำ

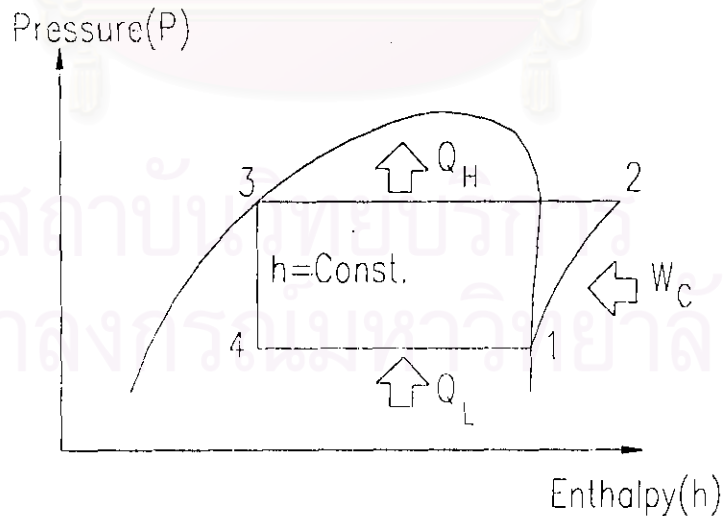
จากรูป พบว่าถ้าหากมีการ Reheat ระบบ สามารถเลือกจ่ายลมเย็นออกจากเครื่องปรับอากาศที่จุด B (เหมือนกรณีห้องมี RSHR = 0.9 โดยใช้เครื่องปรับอากาศขนาดเล็ก) แล้ว Reheat จากจุด B ไปยังจุด B' ซึ่งตัดกับเส้น RSHR = 0.6 ที่ตัดกับจุดที่ต้องการ (C) ตามที่ออกแบบไว้

2.1.6 วัฏจักรทำความเย็นแบบอัดไอ



รูปที่ 2-10 แผนภาพวัฏจักรเครื่องปรับอากาศแบบอัดไอ

เมื่อนำมาเขียนในรูปของแผนภาพ P - h จะได้ ดังนี้



รูปที่ 2-11 แผนภาพ P - h ของวัฏจักรเครื่องปรับอากาศแบบอัดไอ

จากแผนภาพทั้ง 2 ซึ่งเป็นวัฏจักรเครื่องปรับอากาศแบบอัดไอในทางจินตนาการ ซึ่งในแต่ละขบวนการมีการทำงาน ดังนี้

ขบวนการ 1 - 2 สารตัวกลางที่มีสถานะเป็นไออิ่มตัวที่ความดันต่ำผ่านเข้าสู่เครื่องอัดไอ และ จะถูกอัดให้มีความดันสูงขึ้นด้วยขบวนการแบบไม่ส่งถ่ายความร้อนคืนสภาพ (S = Constant)

ขบวนการ 2 - 3 ไอความดันสูงจากเครื่องอัดไอจะคายความร้อนโดยขบวนการความดันคงที่ในเครื่องควบแน่น (Condenser) ออกมาเป็นของเหลวอิ่มตัว

ขบวนการ 3 - 4 สารตัวกลางไหลผ่านลิ้นลดความดันเป็นขบวนการรอรทหลัง และไม่มี การถ่ายเทความร้อน (h = Constant)

ขบวนการ 4 - 1 สารตัวกลางที่ออกจากขบวนการรอรทหลังระเหย (รับความร้อน) โดย ความดันคงที่ในคอยล์เย็น (Evaporator) ออกมามีสถานะเป็นไออิ่มตัวอีกครั้งหนึ่ง

2.1.7 ค่าสัมประสิทธิ์ของสมรรถนะ (Coefficient of Performance, COP)

ค่าสัมประสิทธิ์ของสมรรถนะ คือ ขนาดทำความเย็นต่อกำลังที่ใส่ในเครื่องอัดไอ

$$\begin{aligned} \text{COP} &= \frac{Q_T}{W_C} = \frac{m_r^\circ (h_1 - h_4)}{m_r^\circ (h_2 - h_1)} \\ &= \frac{h_1 - h_4}{h_2 - h_1} \end{aligned} \quad (2.10)$$

เมื่อ Q_T = ขนาดการทำความเย็น (kW)

W_C = กำลังที่ใช้ในเครื่องอัดไอ (kW)

m_r° = อัตราการไหลเชิงมวลของสารทำความเย็น [kg/s]

h_1 = เอนทัลปีของสารทำความเย็นก่อนเข้าเครื่องอัดไอ [kJ/kg]

h_2 = เอนทัลปีของสารทำความเย็นหลังจากผ่านเครื่องอัดไอ [kJ/kg]

h_4 = เอนทัลปีของสารทำความเย็นก่อนเข้าคอยล์เย็น [kJ/kg]

2.1.8 การปรับปรุงค่า COP ของเครื่องปรับอากาศ โดยการลดอุณหภูมิของอากาศที่ระบายความร้อนเครื่องควบแน่น (Condenser)

จากสมการพื้นฐานการส่งผ่านความร้อนในเครื่องควบแน่น (Condenser)

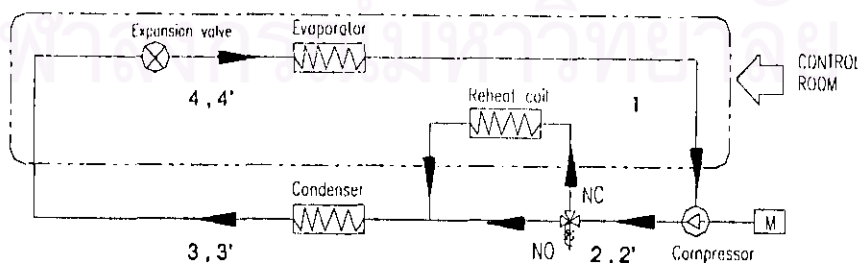
$$q = U_o A \Delta T_m \quad (2.11)$$

โดย q = ความร้อนในการควบแน่นต่อหนึ่งหน่วยสารทำความเย็น [kJ/kg]
 U_o = สัมประสิทธิ์การถ่ายเทความร้อนของเครื่องควบแน่น [W/m².°C]
 A = พื้นที่ผิวภายนอกทั้งหมด (m²)
 ΔT_m = ผลต่างอุณหภูมิแบบลอการิทึม (°C)

เนื่องจากพื้นที่ผิวภายนอกทั้งหมด (A) เป็นค่าคงที่ และค่าสัมประสิทธิ์การถ่ายเทความร้อนของเครื่องควบแน่น (U_o) มีการเปลี่ยนแปลงน้อยมากเมื่ออุณหภูมิเปลี่ยนแปลง แต่ผลต่างอุณหภูมิเฉลี่ยแบบลอการิทึม (ΔT_m) จะมีการเปลี่ยนแปลงค่อนข้างมาก เมื่ออุณหภูมิอากาศที่ระบายความร้อน หรืออุณหภูมิสารทำความเย็นมีการเปลี่ยนแปลง ดังนั้นจะกล่าวได้ว่าผลต่างอุณหภูมิเฉลี่ยแบบลอการิทึม (ΔT_m) มีผลโดยตรงต่ออัตราการถ่ายเทความร้อนของเครื่องควบแน่น (q) นั่นคือการลดอุณหภูมิของอากาศที่ระบายความร้อนของเครื่องควบแน่นส่งผลให้ค่าสัมประสิทธิ์ของสมรรถนะ (COP) ของระบบเพิ่มขึ้น เนื่องจากว่าอัตราการถ่ายเทความร้อนของเครื่องควบแน่นเพิ่มขึ้น

2.1.9 ค่าสัมประสิทธิ์ของสมรรถนะ (COP) ของระบบที่มีการ Reheat โดยเครื่องควบแน่นเพื่อลดความชื้นสัมพัทธ์

พิจารณาระบบ ดังรูป

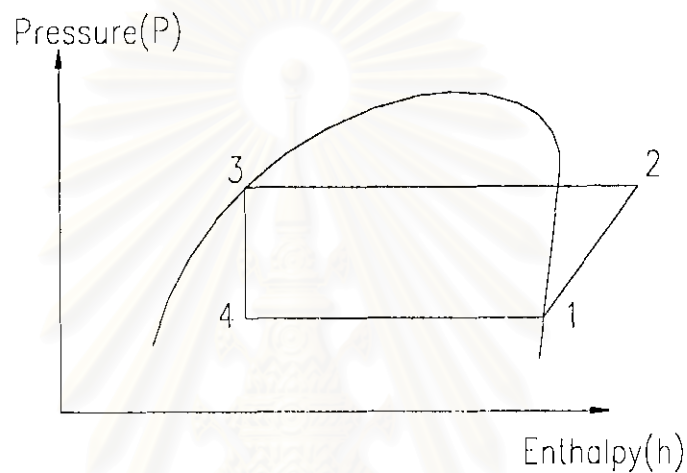


รูปที่ 2-12 แสดงวงจรระบบปรับอากาศที่มี Reheat Coil เพื่อลดความชื้นสัมพัทธ์ระบบ แบ่งได้เป็น 2 กรณี คือ

(ก) กรณีสารทำความเย็นไม่ไหลผ่าน Reheat Coil (ทำงานเหมือนระบบปรับอากาศปกติ) โดยมีทิศทางการไหลของน้ำยา ดังนี้

Compressor → Condenser → Expansion Valve → Evaporator → Compressor

สามารถเขียนแผนภูมิ P-h ของระบบได้ ดังนี้



รูปที่ 2-13 แผนภูมิ P-h ของระบบปรับอากาศทั่วไป

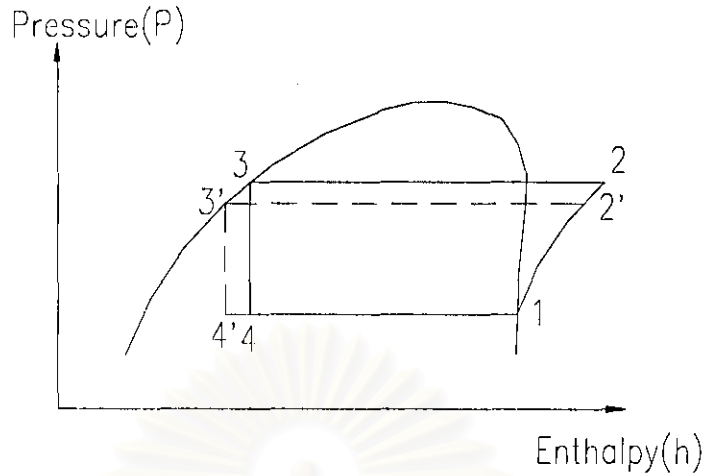
และค่า COP ของระบบ คือ

$$\text{COP} = \frac{h_1 - h_4}{h_2 - h_1} \quad (\text{A})$$

(ข) กรณีสารทำความเย็นไหลผ่าน Reheat Coil เพื่อลดความชื้นสัมพัทธ์ระบบ โดยมีทิศทางการไหลของน้ำยา ดังนี้

Compressor → Reheat Coil → Condenser → Expansion Valve → Evaporator
→ Compressor

สามารถเขียนแผนภูมิ P-h ของระบบ ได้ดังนี้



รูปที่ 2-14 แสดงวัฏจักรของระบบปรับอากาศที่มี Reheat Coil บนแผนภูมิ P-h

โดย วัฏจักร 1-2-3-4-1 กรณี สารทำความเย็นไม่ไหลผ่าน Reheat Coil

วัฏจักร 1-2'-3'-4'-1 กรณี สารทำความเย็นไหลผ่าน Reheat Coil

สาเหตุที่วัฏจักรเปลี่ยนจาก 1-2-3-4 เป็นวัฏจักร 1-2'-3'-4' เมื่อสารทำความเย็นไหลผ่าน Reheat Coil เพื่อลดความชื้นสัมพัทธ์ระบบ เนื่องจากอุณหภูมิของอากาศที่นำมาระบายความร้อนเครื่องควบแน่น (Reheat Coil) ลดลง จากสาเหตุที่ Reheat Coil วางอยู่ที่ ๆ มีอุณหภูมิต่ำ (ภายใน Fan Coil Unit) ส่งผลให้ผลต่างอุณหภูมิเฉลี่ยแบบลอการิทึม (ΔT_m) เพิ่มขึ้น และทำให้อัตราการถ่ายเทความร้อนผ่านเครื่องควบแน่น (q) เพิ่มขึ้น ดังนั้นเมื่อ Reheat Coil ระบายความร้อนได้ดีทำให้อุณหภูมิอิ่มตัวของสารทำความเย็นที่จะเข้าสู่วาล์วลด ความดันลดลงจากจุด 3 เป็น 3' ในขณะที่ค่าความร้อนใช้งาน (h) ลดลงจากจุด 4 เป็น 4' ซึ่งเป็นสาเหตุให้ความสามารถในการทำความเย็นมีมากขึ้น ในขณะเดียวกันเมื่ออุณหภูมิควบแน่นลดลงทำให้อุณหภูมิ ของสารทำความเย็นที่ออกจากเครื่องอัดไอลดลงจากจุดที่ 2 เป็น 2' ซึ่งเป็นสาเหตุให้กำลังที่ใส่ในเครื่องอัดไอ (W_c) ลดลง

จากเหตุผลข้างต้นทำให้สัมประสิทธิ์ของสมรรถนะ (COP) ของเครื่องปรับอากาศเพิ่มขึ้น เมื่อลดอุณหภูมิของอากาศที่ระบายความร้อนเครื่องควบแน่น (Reheat Coil) คือ

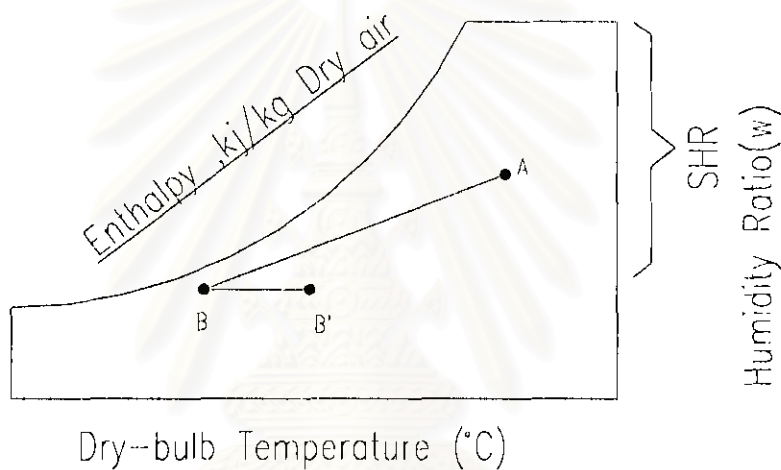
$$\text{COP} = \frac{h_1 - h_4'}{h_2' - h_1} \quad (\text{B})$$

โดยที่ (B) > (A)

สรุปได้ว่า กรณีที่มีการ Reheat ระบบโดยการให้สารทำความเย็นไหลผ่าน Reheat Coil นอกจากทำให้ความชื้นสัมพัทธ์ในระบบลดลงแล้ว ยังจะส่งผลให้ค่า COP ของระบบปรับอากาศเพิ่มขึ้นด้วย

2.1.10 การคำนวณปริมาณความร้อนที่ Reheat Coil ระบายสู่ Control Room ของระบบที่มีการ Reheat โดยเครื่องควบแน่นเพื่อลดความชื้นสัมพัทธ์

พิจารณาขบวนการของอากาศที่ไหลผ่าน Fan Coil Unit บนแผนภูมิไซโครเมตริก จะได้ดังรูป



รูปที่ 2-15 แสดงขบวนการของอากาศที่ไหลผ่าน Fan Coil Unit บนแผนภูมิไซโครเมตริก

โดย ขบวนการ A- B เป็นขบวนการทำความเย็นกรณีสารทำความเย็นไม่ไหลผ่าน Reheat Coil

ขบวนการ A- B' เป็นขบวนการทำความเย็น กรณีสารทำความเย็นไหลผ่าน Reheat Coil

ปริมาณความร้อนที่ Reheat Coil (Q_R) ระบายสู่ Control Room เพื่อลดความชื้นสัมพัทธ์ระบบ กรณีสารทำความเย็นไหลผ่าน Reheat Coil เท่ากับผลต่างของความสามารถทำความเย็นในเชิงอากาศของคอยล์เย็น (Evaporator) (ขบวนการ A - B) กับความสามารถทำความเย็นในเชิงอากาศของ Fan Coil Unit (Evaporator + Reheat Coil) (ขบวนการ A - B') นั่นคือ

$$Q_R = \dot{m}_a (h_A - h_B) - \dot{m}_a (h_A - h_{B'}) \quad (2.12)$$

โดย \dot{m}_a	= อัตราการไหลของอากาศ	[kg/s]
h_A	= เอนทัลปีของอากาศก่อนเข้า Fan Coil Unit	[kJ/kg]
h_B	= เอนทัลปีของอากาศหลังผ่าน Evaporator	[kJ/kg]
$h_{B'}$	= เอนทัลปีของอากาศหลังผ่าน Fan Coil Unit	[kJ/kg]

2.2 การออกแบบ Reheat Coil

การคำนวณและออกแบบ Reheat Coil จะใช้หลักการถ่ายเทความร้อน จากอากาศภายนอกไหลผ่านท่อทองแดงและแผ่นครีบบไปยังสารทำความเย็นซึ่งไหลภายในท่อทองแดง อัตราการถ่ายเทความร้อนจะถูกต้านทานด้วย thermal resistance 3 ประการ ดังนี้ ประการแรก ความต้านทานจากอากาศภายนอกไปยังพื้นที่ผิวภายนอกท่อทองแดง เรียกว่า external surface หรือ air - film thermal resistance ประการที่สอง เป็น thermal resistance จากการนำความร้อนผ่านแผ่นครีบบและเนื้อโลหะของท่อทองแดง ประการสุดท้าย เป็น film thermal resistance ภายในท่อทองแดง ซึ่งต้านทานการถ่ายเทความร้อนระหว่างผิวภายในท่อทองแดงกับสารทำความเย็นที่ไหลผ่าน

จากสมการพื้นฐานการส่งผ่านความร้อนในเครื่องควบแน่น (2.11)

$$q = U_o A \Delta T_m$$

จะได้ว่าอัตราการถ่ายเทความร้อนที่ Reheat Coil ตามสมการดังกล่าวจะเกี่ยวเนื่องกับสัมประสิทธิ์การถ่ายเทความร้อน (U_o), พื้นที่ผิวรวมของการถ่ายเทความร้อน (A) และผลต่างอุณหภูมิเฉลี่ยแบบลอการิทึม (ΔT_m) ดังนั้นในการคำนวณออกแบบ Reheat Coil จึงต้องพิจารณาค่าต่าง ๆ เหล่านี้คือ

ก. พื้นที่ผิวในการถ่ายเทความร้อน

เมื่อพิจารณาจากสมการ (2.11) จะเห็นได้ว่าพื้นที่ผิวรวมในการถ่ายเทความร้อนเป็นปัจจัยสำคัญที่สามารถช่วยให้ภาระในการทำความเย็นนั้นเพิ่มขึ้นหรือลดลงได้ จึงได้มีความพยายามที่จะเพิ่มพื้นที่ในการถ่ายเทความร้อนให้มากขึ้นนอกเหนือไปจากพื้นที่ของท่อที่มีอยู่แล้วโดยการติดครีบบระบายความร้อน ดังนั้นพื้นที่ในการถ่ายเทความร้อนทั้งหมดนั้นประกอบไปด้วยพื้นที่ใหญ่ ๆ 3 ส่วนคือ พื้นที่ผิวด้านในของท่อ ที่สัมผัสกับน้ำยาต่อหน่วยความยาว ($A_{p,i}$) พื้นที่ผิวเฉลี่ยของท่อ ต่อหน่วยความยาว ($A_{p,m}$) และ พื้นที่ผิวรวมด้านนอกที่สัมผัสกับอากาศ

ต่อหน่วยความยาว (A_o) โดยมีความสัมพันธ์ดังนี้

$$A_{p,i} = \pi \cdot D_i$$

$$A_{p,m} = \pi \cdot D_m$$

$$A_o = A_{p,o} + A_F$$

โดยที่ $A_{p,o} = \pi \cdot D_o (1 - (2y) \cdot F_1)$

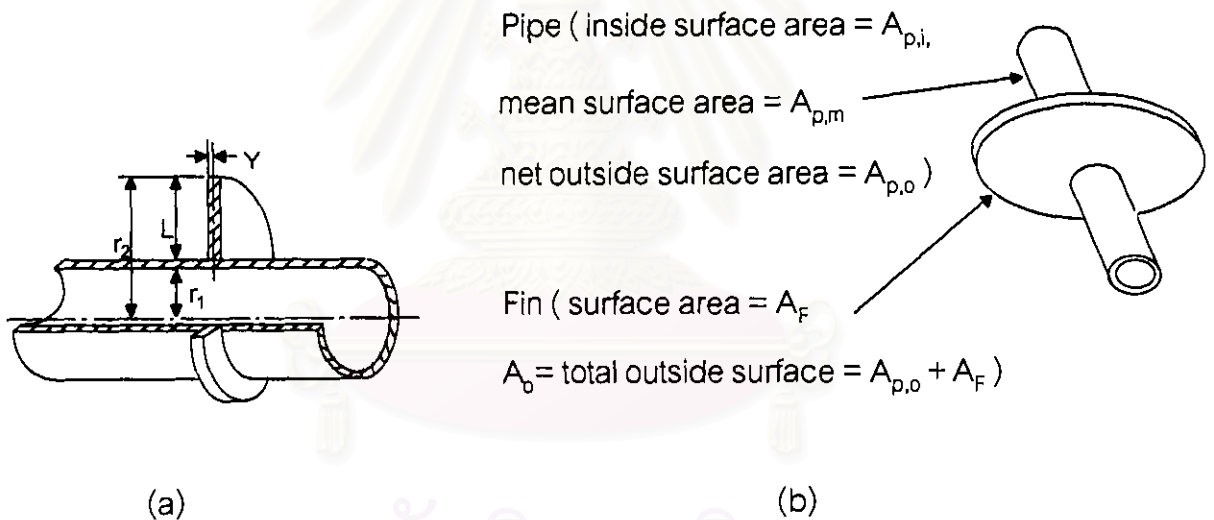
$$A_F = 2 \cdot F_1 \left(a \cdot c - \frac{\pi \cdot D_o^2}{4} \right)$$

และ $F_1 =$ จำนวนแผ่นครีบบต่อหนึ่งหน่วยความยาว

$a =$ ระยะห่างระหว่างท่อในแนวนอนของ Reheat Coil (รูป 2-17)

$c =$ ระยะห่างระหว่างท่อในแนวตั้งของ Reheat Coil (รูป 2-17)

รายละเอียด ดังรูป 2-16



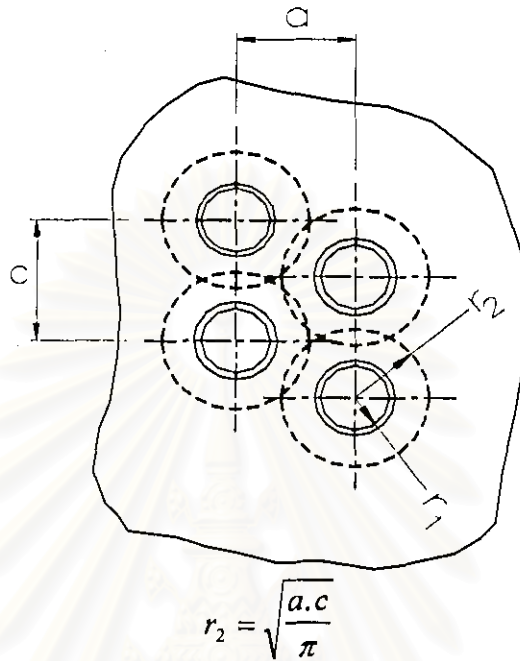
รูปที่ 2-16 แสดงลักษณะรูปร่างชุดแลกเปลี่ยนความร้อน

การถ่ายเทความร้อนระหว่างอากาศที่ไหลผ่านท่อซึ่งภายในมีสารทำความเย็นไหลผ่าน จะเป็นไปอย่างมีประสิทธิภาพได้นั้นต้องเพิ่มพื้นที่ระบายความร้อนหรือแผ่นครีบบให้กับท่อ และแผ่นครีบบที่มักนิยมใช้กันในเครื่องปรับอากาศขนาดเล็ก จะเป็นแบบครีบบแท่ง (bar fin)

สำหรับครีบบรูปสี่เหลี่ยมจัตุรัสและครีบบรูปสี่เหลี่ยมผืนผ้าซึ่งมักนิยมใช้กันนั้น สามารถหาประสิทธิภาพโดยการแปลงครีบบเหล่านี้ให้เป็นครีบบกลมที่มีพื้นที่เท่ากัน ตามความสัมพันธ์

$$\text{Area} = a.c = \pi.r^2$$

$$\text{ดังนั้น } r = \sqrt{\frac{a.c}{\pi}}$$

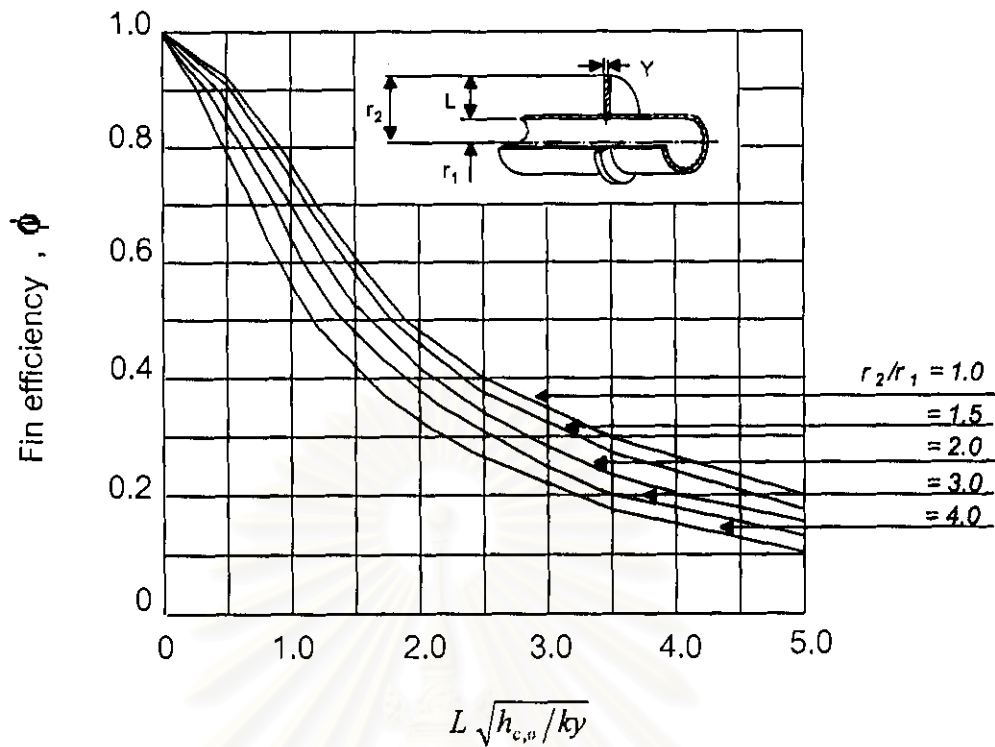


รูปที่ 2-17 แสดงรัศมีเทียบเท่าของแผ่นครีบริบรูปสี่เหลี่ยมผืนผ้า

ประสิทธิภาพของแผ่นครีบริบ (Fin efficiency , ϕ) คือ อัตราส่วนของความร้อนที่แผ่นครีบริบสามารถถ่ายเทได้จริง ต่อความร้อนที่แผ่นครีบริบถ่ายเทถ้าหากแผ่นครีบริบนั้นมีอุณหภูมิเท่ากันหมด และเท่ากับอุณหภูมิที่ฐานของแผ่นครีบริบ ดังนั้นจะได้ว่า

$$\text{Fin efficiency } (\phi) = \frac{\text{อัตราการถ่ายเทความร้อนที่เป็นจริง}}{\text{อัตราการถ่ายเทความร้อนของแผ่นครีบริบที่อุณหภูมิฐานครีบริบ}}$$

Karl A. Gardner [3] ได้ทำการวิเคราะห์หาประสิทธิภาพของครีบริบแบบกลม แล้วเสนอผลการวิเคราะห์นี้ในรูปของกราฟเพื่อความสะดวกในการใช้งาน ดังแสดงในรูปที่ 2-18



รูปที่ 2-18 กราฟแสดงประสิทธิภาพแผ่นครีบกกลมของ Karl A. Gardner

- โดยที่ L = ความยาวของแผ่นครีบ (รูป 2-16 a) (m)
 $h_{c,o}$ = สัมประสิทธิ์การถ่ายเทความร้อนด้านอากาศ [$W/m^2 \cdot ^\circ C$]
 k_{al} = ค่าการนำความร้อนของแผ่นครีบอลูมิเนียม ~ 201 [$W/m \cdot ^\circ C$]
 y = ครึ่งของความหนาของแผ่นครีบ (รูป 2-16 a) (m)

ข. สัมประสิทธิ์การถ่ายเทความร้อนรวม (U_o) ของเครื่องควบแน่น (Overall Heat Transfer Coefficient for a dry Finned - Tube Heat Exchanger)

จากสมการพื้นฐานการส่งผ่านความร้อนในเครื่องควบแน่น

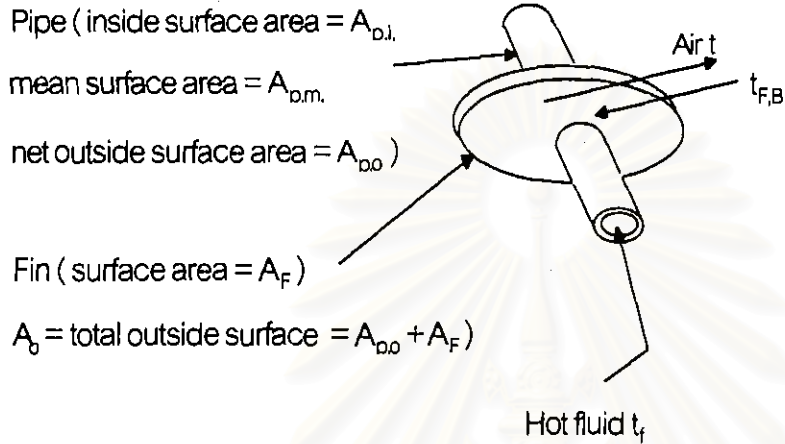
$$q = U_o A \Delta T_m$$

สมมุติฐาน

- (1) พื้นผิวของท่อทองแดงและแผ่นครีบแห้ง
- (2) มีการถ่ายเทความร้อนคงที่สม่ำเสมอ
- (3) คุณสมบัติของท่อทองแดงเท่ากับคุณสมบัติของฐานแผ่นครีบ

$$(4) h_{c,o,p} = h_{c,o,F} = h_{c,o}$$

พิจารณารูปที่ 2-19



X_b = pipe wall thickness
 t = air temperature
 $t_{F,B}$ = fin base temperature
 $t_{D,o}$ = pipe outer surface
 temperature = $t_{F,B}$
 $t_{D,i}$ = pipe inner surface
 temperature
 t_f = hot fluid temperature
 $t_{F,m}$ = mean fin temperature

รูปที่ 2-19 แสดงลักษณะของแผ่นครีปในการถ่ายเทความร้อนของเครื่องควบแน่น

จะได้ค่า

- (1) อัตราการถ่ายเทความร้อนจากสารทำความเย็นสู่ท่อทองแดงด้านใน

$$q = h_i A_{p,i} (t_f - t_{p,i}) \quad (2.13)$$

- (2) อัตราการถ่ายเทความร้อนจากท่อทองแดงด้านในสู่ท่อทองแดงด้านนอก

$$q = \frac{k_p A_{p,m} (t_{p,i} - t_{p,o})}{x_p} \quad (2.14)$$

- (3) อัตราการถ่ายเทความร้อนจากท่อทองแดงด้านนอกและแผ่นครีปสู่อากาศ

$$q = h_{c,o,p} A_{p,o} (t_{p,o} - t) + h_{c,o,F} A_F (t_{F,m} - t)$$

$$= h_{c,o} (A_{p,o} + \phi A_F) (t_{p,o} - t) \quad (2.15)$$

(4) อัตราการถ่ายเทความร้อนจากสารทำความเย็นสู่อากาศ

$$q = U_o A_o (t_f - t) \quad (2.16)$$

จากความสัมพันธ์ของสมการ (2.13) , (2.14) , (2.15) และ (2.16) จะได้ว่า

$$U_o = \frac{1}{\frac{A_o}{A_{p,i} h_i} + \frac{A_o x_p}{A_{p,m} k_p} + \frac{1 - \phi}{h_{c,o} (A_{p,o} / A_F + \phi)} + \frac{1}{h_{c,o}}} \quad (2.17)$$

โดยที่	A_o	=	พื้นที่ผิวรวมด้านนอกที่สัมผัสอากาศต่อหน่วยความยาว	(m^2)
	$A_{p,i}$	=	พื้นที่ผิวด้านในของท่อต่อหน่วยความยาว	(m^2)
	$A_{p,m}$	=	พื้นที่ผิวเฉลี่ยของท่อต่อหน่วยความยาว	(m^2)
	$A_{p,o}$	=	พื้นที่ผิวด้านนอกของท่อระหว่างแผ่นครีปต่อหน่วยความยาว	(m^2)
	A_F	=	พื้นที่ผิวของแผ่นครีปต่อหน่วยความยาว	(m^2)
	h_i	=	สัมประสิทธิ์การพาความร้อนด้านสารทำความเย็น	[$W/m^2 \cdot ^\circ C$]
	$h_{c,o,F}$	=	สัมประสิทธิ์การถ่ายเทความร้อนด้านอากาศของแผ่นครีป	[$W/m^2 \cdot ^\circ C$]
	$h_{c,o,p}$	=	สัมประสิทธิ์การถ่ายเทความร้อนด้านอากาศของท่อ	[$W/m^2 \cdot ^\circ C$]
	$h_{c,o}$	=	สัมประสิทธิ์การถ่ายเทความร้อนรวมด้านอากาศ	[$W/m^2 \cdot ^\circ C$]
	k_p	=	ค่าการนำความร้อนของท่อทองแดง	[$W/m \cdot ^\circ C$]
	ϕ	=	ประสิทธิภาพของแผ่นครีป	
	X_p	=	ความหนาของท่อทองแดง	(m)

เนื่องจากเทอม $(A_o X_p / A_{p,m} k_p)$ มีค่าน้อยมากเมื่อเทียบกับเทอมอื่น ๆ ($\sim 0.5 \%$) สามารถตัดทิ้งได้ ดังนั้นจะได้ว่า

$$U_o = \frac{1}{\frac{A_o}{A_{p,i} h_i} + \frac{1-\phi}{h_{c,o} (A_{p,o} / A_F + \phi)} + \frac{1}{h_{c,o}}} \quad (2.18)$$

สัมประสิทธิ์การพาความร้อนของของไหลในท่อ (h_i)

สำหรับการถ่ายเทความร้อนของของไหลที่ไหลในท่อกลมในแนวราบนั้น E.N. Sieder และ C.E. Tate [7] ได้ให้สมการสำหรับคำนวณสัมประสิทธิ์ของการพาความร้อนไว้ ดังนี้

(1) กรณีการไหลในท่อเป็นแบบลามินาร์ (Laminar Flow in Tubes and Ducts)

โดย $Re_D < 5,000$ และ $Re_D \cdot Pr \cdot (D_i/L) > 10$

$$Nu_D = 1.86 (Re_D Pr)^{0.33} \left(\frac{D_i}{L} \right)^{0.33} \left(\frac{\mu_b}{\mu_s} \right)^{0.14}$$

$$\text{หรือ } h_i = 1.86 \left(\frac{k_i}{D_i} \right) (Re_D Pr)^{0.33} \left(\frac{D_i}{L} \right)^{0.33} \left(\frac{\mu_b}{\mu_s} \right)^{0.14} \quad (2.19)$$

(2) กรณีการไหลในท่อเป็นแบบเทอร์บิวเลนต์ (Turbulent Flow in Tubes and Ducts)

โดย $Re_D \geq 5,000$ และ $0.5 \leq Pr \leq 100$

$$Nu_D = 0.027 Re_D^{0.8} Pr^{0.33} \left(\frac{\mu_b}{\mu_s} \right)^{0.14}$$

$$\text{หรือ } h_i = 0.027 \left(\frac{k_i}{D_i} \right) Re_D^{0.8} Pr^{0.33} \left(\frac{\mu_b}{\mu_s} \right)^{0.14} \quad (2.20)$$

$$\text{เมื่อ } Pr = \frac{C_{p1} \cdot \mu_1}{k_1}$$

$$Nu_D = \frac{h_i \cdot D_i}{k_1}$$

$$Re_D = \frac{D_i \cdot G_1}{\mu_1}$$

$$G_1 = \frac{m_r^o}{A_i}$$

โดยที่ Pr = ค่าตัวเลขแพรนด์เติล

Nu_D = ค่าตัวเลขนัสเซลท์ที่หาจากเส้นผ่านศูนย์กลางของท่อ

Re_D	=	ค่าตัวเลขเรโนลด์ที่หาจากเส้นผ่านศูนย์กลางของท่อ	
G_f	=	อัตราการไหลเชิงมวลของสารทำความเย็นเหลว	[kg/m ² .s]
μ_l	=	ความหนืดของสารทำความเย็นเหลว	[N-s/m ²]
k_f	=	ค่าการนำความร้อนสารทำความเย็นเหลว	[W/m .°c]
μ_b	=	ค่าความหนืดของน้ำยาที่หาจากคุณสมบัติเฉลี่ยของของไหล	[N-s/m ²]
μ_s	=	ค่าความหนืดที่ของน้ำยาหาจากคุณสมบัติเฉลี่ยของผิวท่อ	[N-s/m ²]
Cp_l	=	ค่าความร้อนจำเพาะของสารทำความเย็นเหลว	[J/kg .°c]
\dot{m}_f	=	อัตราการไหลเชิงมวลของสารทำความเย็น	[kg/s]

สัมประสิทธิ์การถ่ายเทความร้อนด้านอากาศ ($h_{c,o}$)

R.L. Webb [5] ได้ทดลองหาสมการสำหรับทำนายค่าสัมประสิทธิ์การพาความร้อนแบบบังคับด้านอากาศบนหม้อท่อติดแผ่นครีบบนคลื่น (Wavy plate fin) วางตัวในแนวขนและเรียงกันแบบสลับแถว ไว้ดังนี้

(1) ในกรณีที่ $Gz \leq 25$

$$Nu_o = 0.50 \cdot Gz^{0.86} \left(\frac{c}{D_o} \right)^{0.11} \left(\frac{s}{D_o} \right)^{-0.09} \left(\frac{s_d}{a} \right)^{0.12} \left(\frac{2 \cdot s_p}{a} \right)^{-0.34}$$

หรือ $h_{c,o} = 0.50 \cdot \left(\frac{k_a}{D_H} \right) \cdot Gz^{0.86} \left(\frac{c}{D_o} \right)^{0.11} \left(\frac{s}{D_o} \right)^{-0.09} \left(\frac{s_d}{a} \right)^{0.12} \left(\frac{2 \cdot s_p}{a} \right)^{-0.34}$ (2.21)

(2) ในกรณีที่ $Gz > 25$

$$Nu_o = 0.83 \cdot Gz^{0.76} \left(\frac{c}{D_o} \right)^{0.13} \left(\frac{s}{D_o} \right)^{-0.16} \left(\frac{s_d}{a} \right)^{0.25} \left(\frac{2 \cdot s_p}{a} \right)^{-0.43}$$

$$h_{c,o} = 0.83 \cdot \left(\frac{k_a}{D_H} \right) \cdot Gz^{0.76} \left(\frac{c}{D_o} \right)^{0.13} \left(\frac{s}{D_o} \right)^{-0.16} \left(\frac{s_d}{a} \right)^{0.25} \left(\frac{2 \cdot s_p}{a} \right)^{-0.43}$$
 (2.22)

เมื่อ $Gz = Re \cdot Pr \cdot \frac{D_H}{W}$

$$\text{Re} = \frac{\rho_a \cdot U_m \cdot D_H}{\mu_a}$$

$$D_H = \frac{2 \cdot s \cdot (1 - \beta)}{\left[(1 - \beta) \sec \theta + 2 \cdot s \cdot \frac{\beta}{D_o} \right]}$$

$$s = \frac{1}{F_l} - 2y$$

$$\beta = \frac{\pi \cdot D_o^2}{4 \cdot a \cdot c}$$

$$\sec \theta = \frac{\sqrt{(s_d^2 + s_p^2)}}{s_p}$$

$$U_m = \frac{U_{fr}}{\sigma \cdot (1 - \beta)}$$

$$\sigma = \frac{t}{(s + t)} \quad ; \quad t = 2y$$

$$W = N_R \cdot a$$

โดยที่	Gz	= ค่าตัวเลขเกรทซ์	
	Pr	= ค่าตัวเลขแพรนด์เทิลของอากาศ	
	Re	= ค่าตัวเลขเรโนลด์	
	D_H	= ขนาดเส้นผ่านศูนย์กลางไฮดรอลิกที่ความเร็วอากาศเฉลี่ย (m)	
	U_m	= ความเร็วเฉลี่ยของอากาศ	[m/s]
	μ_a	= ค่าความหนืดของอากาศ	[N-s/m ²]
	ρ_a	= ค่าความหนาแน่นอากาศ	[kg/m ³]
	k_a	= ค่าการนำความร้อนของอากาศ	[W/m °C]
	s	= ระยะห่างของแผ่นครีป	(m)
	N_R	= จำนวนแถวของคอยล์ในแนวตั้ง	
	t	= ความหนาของแผ่นครีป (2y)	(m)
	s_d	= ระยะความสูงจากฐานถึงยอดของแผ่นครีปแบบคลื่น	(m)
	s_p	= ระยะครึ่งความยาวของแผ่นครีปแบบคลื่น	(m)
	a	= ระยะห่างของท่อในแนวนอน	(m)
	c	= ระยะห่างของท่อในแนวตั้ง	(m)

U_{fr} = ความเร็วอากาศหน้าคอยล์ [m/s]

σ = Contraction Ratio

ค. ผลต่างอุณหภูมิเฉลี่ยแบบลอการิทึม (Logarithmic Mean Temperature Difference) (ΔT_m)

ในการออกแบบเครื่องควบแน่นที่ระบายความร้อนด้วยอากาศนั้น ปริมาณของความชื้นในอากาศค่อนข้างจะมีผลกระทบต่อภาระในการระบายความร้อนไม่มากนัก ดังนั้นจึงสามารถกำหนดความสัมพันธ์ดังกล่าวในรูปของผลต่างอุณหภูมิเฉลี่ยลอการิทึม ได้ดังนี้



รูปที่ 2-20 แสดงการเปลี่ยนแปลงอุณหภูมิของเครื่องควบแน่น

โดยที่
$$\Delta T_m = \frac{\Delta T_a - \Delta T_b}{\ln\left(\frac{\Delta T_a}{\Delta T_b}\right)} \quad (2.23)$$

ซึ่ง

- $T_{r,i}$ = อุณหภูมิทางเข้าของสารทำความเย็น (°C)
- $T_{r,o}$ = อุณหภูมิทางออกของสารทำความเย็น (°C)
- $T_{a,i}$ = อุณหภูมิทางเข้าของอากาศ (°C)
- $T_{a,o}$ = อุณหภูมิทางออกของอากาศ (°C)